

ОТДЕЛЬНЫЙ ОТТИСК

ISSN 1992-6138

# Математическое Образование

Журнал Фонда математического  
образования и просвещения

Год семнадцатый

№ 4 (68)

октябрь -декабрь 2013 г.

Москва

## О некоторых «треугольных» кониках

Алексей Мякишев

В статье изучаются коники, проходящие через точки, выбранные специальным образом относительно данного треугольника. В последнее время эта тематика стала очень популярной. Новый импульс ее развитию придали гипотезы Штейнгарца об эллипсах, опубликованные в [1], [2]. Некоторые из них опровергнуты, а некоторые доказаны, в частности, в статье [3], опубликованной в предыдущем номере нашего журнала. Изложение специального “механического” метода доказательства, при помощи которого можно доказать одну из гипотез, а также получить ряд других планиметрических результатов, содержится в [4].

Теоремы 4.1 и 4.2 настоящей статьи получены совместно с Д. С. Григорьевым, учащимся 11 класса Московского Химического Лицея № 1303.

Конец доказательства в тексте помечается значком  $\square$ . Для котангенса используется международное обозначение  $\cot$ , в отличие от принятого в России  $\operatorname{ctg}$ .

Статья печатается с продолжением.

### § 1. Вводная часть

Как хорошо известно, *три* различные точки *общего* положения<sup>1</sup> однозначно определяют проходящую через них окружность. Через *четыре* же произвольные точки окружность, вообще говоря, провести нельзя. Поэтому ситуации, когда существует окружность, проходящая через те или иные *четыре* точки некой геометрической конфигурации, следует отнести к *специальным* (нетипическим).

Подобные замечания, с некоторыми поправками, можно отнести и к *коникам*<sup>2</sup>.

А именно, известно, что через любые *пять* различных точек общего положения<sup>3</sup> можно провести конику, и притом только одну (см. [5], [10]). К *специальным* здесь, следовательно, можно отнести ситуации, когда коника проходит через какие-либо *шесть* точек геометрической конфигурации.

В нашей работе мы предъявим несколько такого рода коник — большинство из них, насколько нам известно, ранее в работах по элементарной геометрии не появлялось.

Все они, так или иначе, связаны с треугольником<sup>4</sup>.

Помимо доказательств существования, будут найдены *центры* рассматриваемых коник, некоторые из которых ныне пополнили фундаментальную *Энциклопедию Треугольных Центров* профессора Кларка Кимберлинга, (см. [9]).

В последующих вычислениях мы будем активно применять барицентрические координаты (все необходимые сведения о которых содержатся, например, в [6], [10]).

В качестве главного орудия будет неоднократно использована так называемая

<sup>1</sup>Т.е., в данном случае, не лежащие на одной прямой или, как еще говорят, *неколлинеарные*.

<sup>2</sup>Под этим термином будем подразумевать *эллипс*, *параболу* или *гиперболу* — т.н. *невырожденные коники*.

А, скажем, пару параллельных (а то и совпадающих) прямых — можно считать «вырожденной» параболой. Эти прямые симметричны относительно любой точки, лежащей на прямой, им параллельной и содержащей середины всех отрезков с концами на этих прямых.

Пару же пересекающихся прямых можно рассматривать как «вырожденную» гиперболу.

<sup>3</sup>Т.е. никакие *три* из которых не лежат на одной прямой.

<sup>4</sup>Отсюда, понятно, и название *треугольные коники*. См. также некоторые классические вещи о них в [12].

**Теорема 1.1 (Карно).** Пусть  $A_1, A_2 \in (BC)$ ;  $B_1, B_2 \in (CA)$ ;  $C_1, C_2 \in (AB)$ . Тогда эти шесть точек лежат на одной конике, если и только если выполнено условие Карно:

$$\left( \frac{\overrightarrow{BA_1}}{\overrightarrow{CA_1}} \cdot \frac{\overrightarrow{BA_2}}{\overrightarrow{CA_2}} \right) \cdot \left( \frac{\overrightarrow{CB_1}}{\overrightarrow{AB_1}} \cdot \frac{\overrightarrow{CB_2}}{\overrightarrow{AB_2}} \right) \cdot \left( \frac{\overrightarrow{AC_1}}{\overrightarrow{BC_1}} \cdot \frac{\overrightarrow{AC_2}}{\overrightarrow{BC_2}} \right) = 1 \quad (\text{см. [5], [10]}).$$

Из этой теоремы, в свой черед, сразу вытекают два полезных следствия, которыми также воспользуемся в дальнейшем.

**Следствие 1.1.** Пусть шесть точек попарно расположены на прямых, содержащих стороны некоторого треугольника  $ABC$ :  $A_1, A_2 \in (BC)$ ;  $B_1, B_2 \in (CA)$ ;  $C_1, C_2 \in (AB)$ , причем пары векторов  $(\overrightarrow{BA_1}, \overrightarrow{CA_2})$ ,  $(\overrightarrow{CB_1}, \overrightarrow{AB_2})$  и  $(\overrightarrow{AC_1}, \overrightarrow{BC_2})$  равны по величине и противоположны по направлению (т.е. либо одновременно смотрят «внутрь» треугольника, либо — «вовне»).

Тогда эти шесть точек лежат на одной конике (рис. 1).

*Доказательство.* Рассмотрим, например, «внутренний» случай («внешний» совершенно аналогичен). Пусть  $BC = a$ ,  $CA = b$ ,  $AB = c$  и  $BA_1 = CA_2 = x$ ,  $CB_1 = AB_2 = y$ ,  $AC_1 = BC_2 = z$ . Тогда

$$\begin{aligned} & \left( \frac{\overrightarrow{BA_1}}{\overrightarrow{CA_1}} \cdot \frac{\overrightarrow{BA_2}}{\overrightarrow{CA_2}} \right) \cdot \left( \frac{\overrightarrow{CB_1}}{\overrightarrow{AB_1}} \cdot \frac{\overrightarrow{CB_2}}{\overrightarrow{AB_2}} \right) \cdot \left( \frac{\overrightarrow{AC_1}}{\overrightarrow{BC_1}} \cdot \frac{\overrightarrow{AC_2}}{\overrightarrow{BC_2}} \right) = \\ & = \left( -\frac{x}{a-x} \cdot -\frac{a-x}{x} \right) \cdot \left( -\frac{y}{b-y} \cdot -\frac{b-y}{y} \right) \cdot \left( -\frac{z}{c-z} \cdot -\frac{c-z}{z} \right) = 1, \end{aligned}$$

и, в силу теоремы 1.1, рассматриваемые точки принадлежат одной конике.  $\square$

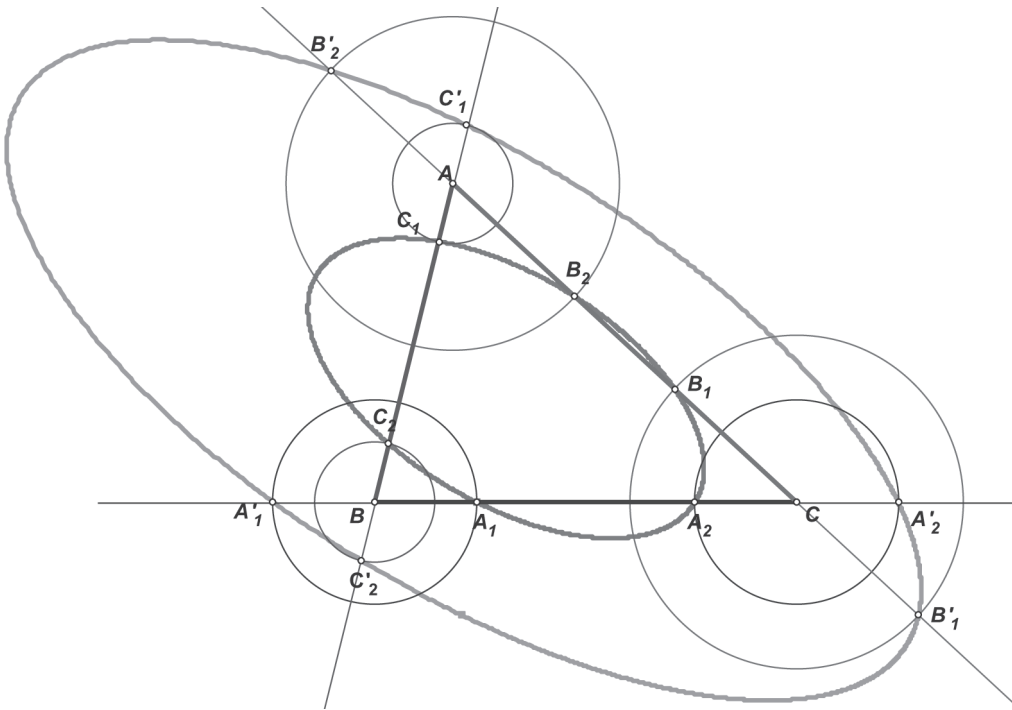


Рис. 1.

**Следствие 1.2.** Если шесть точек, расположенных на сторонах (или их продолжениях) некоторого треугольника можно разбить на две тройки, каждая из которых является основаниями конкурентных<sup>5</sup> чевиан<sup>6</sup>, то существует коника, содержащая эти шесть точек (рис. 2).

<sup>5</sup>Т.е. пересекающихся в одной точке.

<sup>6</sup>Отрезки, соединяющие вершины треугольника с точками на прямых, содержащих противолежащие стороны.

*Доказательство.* Следует дважды применить *обратную теорему Чевы* (см. [5]–[8], [10]), а затем воспользоваться теоремой Карно:

$$\begin{aligned} \left( \frac{\overrightarrow{BA_1}}{\overrightarrow{CA_1}} \cdot \frac{\overrightarrow{BA_2}}{\overrightarrow{CA_2}} \right) \cdot \left( \frac{\overrightarrow{CB_1}}{\overrightarrow{AB_1}} \cdot \frac{\overrightarrow{CB_2}}{\overrightarrow{AB_2}} \right) \cdot \left( \frac{\overrightarrow{AC_1}}{\overrightarrow{BC_1}} \cdot \frac{\overrightarrow{AC_2}}{\overrightarrow{BC_2}} \right) = \\ = \left( \frac{\overrightarrow{BA_1}}{\overrightarrow{CA_1}} \cdot \frac{\overrightarrow{CB_1}}{\overrightarrow{AB_1}} \cdot \frac{\overrightarrow{AC_1}}{\overrightarrow{BC_1}} \right) \cdot \left( \frac{\overrightarrow{BA_2}}{\overrightarrow{CA_2}} \cdot \frac{\overrightarrow{CB_2}}{\overrightarrow{AB_2}} \cdot \frac{\overrightarrow{AC_2}}{\overrightarrow{BC_2}} \right) = 1 \cdot 1 = 1. \square \end{aligned}$$

Наконец, нам понадобятся следующие три «барицентрических» факта.

**Теорема 1.2 (Уравнение коники в барицентрических координатах).** В барицентрических координатах уравнение коники имеет вид<sup>7</sup> (см. [10]):

$$ux^2 + vy^2 + wz^2 + 2fyz + 2gzx + 2hxy = 0.$$

**Теорема 1.3 (Определение вида коники и координат центра по ее уравнению).** Пусть уравнение коники задано:  $ux^2 + vy^2 + wz^2 + 2fyz + 2gzx + 2hxy = 0$ . Введем следующие обозначения:  $U = vw - f^2$ ,  $V = wu - g^2$ ,  $W = uv - h^2$ ,  $F = gh - uf$ ,  $G = hf - vg$ ,  $H = fg - wh$ . Тогда вид коники зависит от знака выражения  $\Phi = U + V + W + 2(F + G + H)$ : Если  $\Phi > 0$ , то коника является эллипсом, если  $\Phi = 0$  — параболой, а если  $\Phi < 0$  — гиперболой.

Центр коники имеет координаты  $(U + G + H : V + F + H : W + F + G)$  (см. [10]).

## § 2. Изотерический<sup>8</sup> эллипс

Рассмотрим произвольный треугольник  $ABC$  и поделим каждую из его сторон на три равные части. Тогда, оказывается, будет справедлива следующая

**Теорема 2.1.** Точки «расстроения»  $A_1, A_2, B_1, B_2, C_1, C_2$  лежат на конике с центром в  $G$  — точке пересечения медиан<sup>9</sup> треугольника  $ABC$ , причем диагонали вписанного в конику шестиугольника, а также отрезки соединяющие середины его противоположных<sup>10</sup> сторон — будут делиться этой точкой пополам (см. рис. 3).

*Доказательство.* То, что указанные шесть точек лежат на одной конике, немедленно получим, воспользовавшись следствием 1.1, поскольку  $BA_1 = CA_2 = \frac{a}{3}, CB_1 = AB_2 = \frac{b}{3}, AC_1 = BC_2 = \frac{c}{3}$ .

А если еще заметить, что противоположные стороны рассматриваемого шестиугольника *параллельны* (как это следует из теоремы Фалеса), то существование коники можно доказать и по-другому, посредством *обратной теоремы Паскаля* ([5], [10]), которая гласит:

<sup>7</sup>И является однородным как относительно коэффициентов, так и относительно переменных, т.е. не меняется (переходит в равносильное), если все коэффициенты (или все переменные) умножить одновременно на любой постоянный ненулевой множитель.

<sup>8</sup>От греческого «*isor*» — *равный* и латинского «*ter*» — *три*.

<sup>9</sup>Ее еще часто называют попросту *центроидом*.

<sup>10</sup>Т.е. идущих через две.

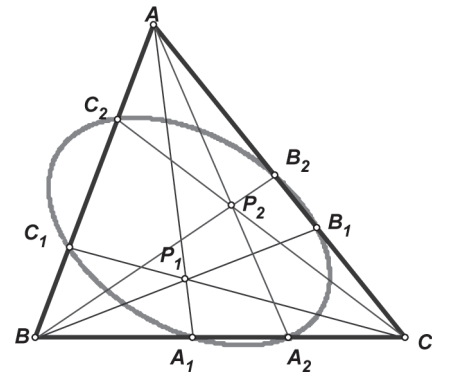


Рис. 2.

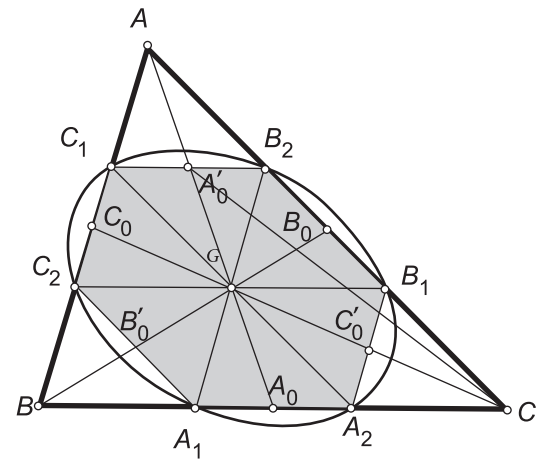


Рис. 3.

*Если точки пересечения прямых, содержащих противоположные стороны некоторого шестивершинника, лежат на одной прямой, то его вершины лежат на одной конике.*

А в нашем шестиугольнике противоположные стороны *параллельны* — т.е., с проективной точки зрения, точки их пересечения лежат на бесконечно удаленной прямой ([5], [6], [10]).

Для доказательства же того, что центром коники является центроид  $G$ , мы применим теорему о том, что *середины пучка параллельных хорд коники лежат на прямой, проходящей через ее центр*<sup>11</sup> (см. [5], [10]).

Действительно, очевидно<sup>12</sup>, что диагональ  $C_1A_2$  параллельна  $AC$ , середина  $AC$ , точка  $B_0$ , является также и серединой  $B_1B_2$  и т.д.

Наконец, то, что все фигурирующие в условии диагонали и отрезки делятся центроидом пополам, также следует из теоремы Фалеса — ну, и из того еще, что медианы делятся центроидом в отношении  $2 : 1$  (см. [7], [8]) — именно поэтому прямая, например,  $B_1C_2$  проходит через  $G$ .

Из всего вышесказанного, кстати, еще и то следует, что наш шестиугольник является *центрально симметричным, с центром симметрии в  $G$ .*  $\square$

Теперь заметим, что наша коника всегда будет представлять собою *эллипс*. (вообще говоря, то обстоятельство, что коника проходит через шесть точек, расположенных *на сторонах треугольника*, вовсе не гарантирует ее «эллипсовости» — см. рис. 4).

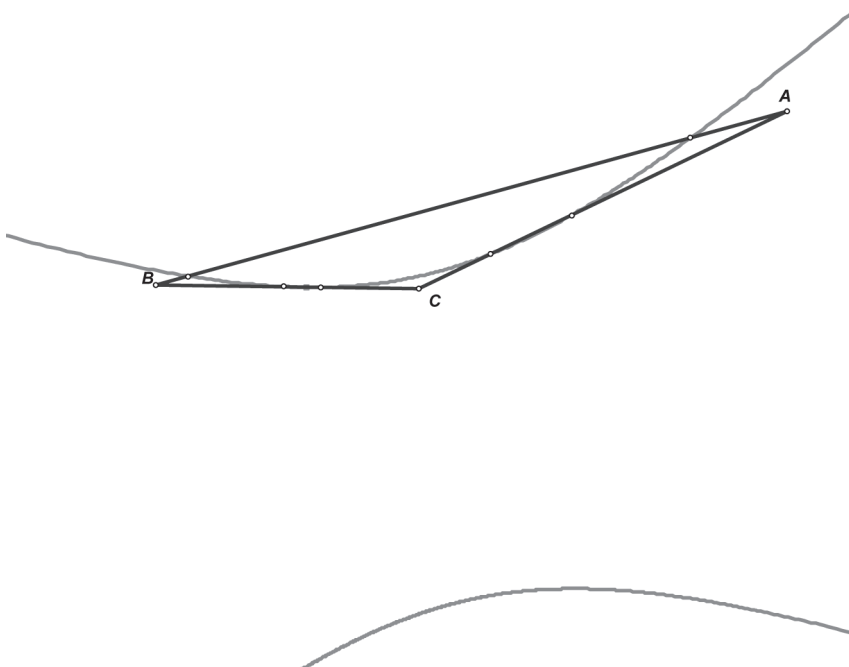


Рис. 4.

**Теорема 2.2.** Рассматриваемая коника является эллипсом.

*Доказательство*<sup>13</sup>. Сначала, пользуясь теоремой 1.2, составим уравнение нашей коники. Очевидно, координаты шести точек «деления на три» имеют вид:

<sup>11</sup>И прямая эта (или отрезок) называется *сопряженным диаметром* коники

В случае параболы ее центром следует считать бесконечно удаленную точку ее оси. Тогда хордой параболы, проходящей через ее центр, будет являться луч, параллельный оси.

<sup>12</sup>По теореме, конечно, Фалеса.

<sup>13</sup>Другое, более общее рассуждение на эту тему приведено далее, см. теорему 9.2.

$$\begin{aligned} A_1 &= 0 : CA_1 : BA_1 = 0 : 2a : a = 0 : 2 : 1; \quad A_2 = 0 : CA_2 : BA_2 = 0 : a : 2a = 0 : 1 : 2; \\ B_1 &= CB_1 : 0 : AB_1 = b : 0 : 2b = 1 : 0 : 2; \quad B_2 = CB_2 : 0 : AB_2 = 2b : 0 : b = 2 : 0 : 1; \\ C_1 &= BC_1 : AC_1 : 0 = 2c : c : 0 = 2 : 1 : 0; \quad C_2 = BC_2 : AC_2 : 0 = c : 2c : 0 = 1 : 2 : 0. \end{aligned}$$

Подставив теперь координаты точек в уравнение коники, придем к системе из 6-ти линейных уравнений<sup>14</sup>, которую, однако, легко решить благодаря большому количеству нулевых коэффициентов. В итоге получим, что  $u = v = w = 4; f = g = h = -5$ , т.е. уравнение коники имеет вид:

$$2x^2 + 2y^2 + 2z^2 - 5yz - 5zx - 5xy = 0.$$

И, поскольку  $U = V = W = -9$  и  $F = G = H = 45$ , то  $\Phi = -9 \cdot 3 + 2 \cdot 3 \cdot 45 = 243 > 0$  и, по теореме 1.3, наша коника является эллипсом.  $\square$

### § 3. Ортоэллипс

Проведем из вершины  $A$  произвольного треугольника  $ABC$  два луча, перпендикулярных  $AB$  и  $AC$  и таких, что они не пересекают прямую  $BC$ . Затем рассмотрим отрезок  $B''_2C''_1$ , вписанный в угол, образованный этими лучами, причем параллельный и равный отрезку  $BC$ . Отрезки  $B''_1A''_2$  и  $A''_1C''_2$  определяются аналогично. Тогда, оказывается, справедлива

**Теорема 3.1.** Точки  $B''_2, C''_1, B''_1, A''_2, A''_1, C''_2$  лежат на эллипсе с центром в точке  $H$  — ортоцентре<sup>15</sup> треугольника  $ABC$  (рис. 5).

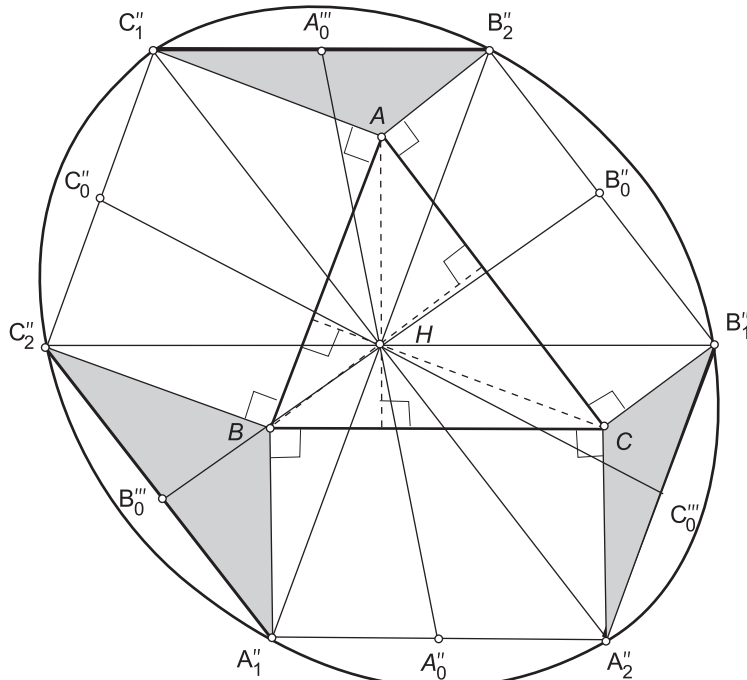


Рис. 5.

Противоположные стороны шестиугольника параллельны; диагонали его и отрезки, соединяющие середины противоположных сторон, проходят через точку  $H$ , которой и делятся пополам.

*Доказательство.* Данное утверждение получается из двух предыдущих (теорема 2.1, теорема 2.2), если рассмотреть гомотетию с центром в точке  $O$  — центре описанной окружности треугольника  $ABC$  — и с коэффициентом 2 (рис. 6).

<sup>14</sup>Одно из которых, конечно, является следствием остальных.

<sup>15</sup>Так часто называют точку пересечения высот треугольника.

Действительно, пусть  $B'', C''$  — образы точек  $B$  и  $C$  при этой гомотетии.

Тогда  $B''C'' \parallel BC$ , поскольку при гомотетии прямые, не проходящие через ее центр, переходят в параллельные. Поэтому, опустив перпендикуляры из точек  $B$  и  $C$  на прямую  $B''C''$ , получим прямоугольник с вершинами в этих точках и основаниях перпендикуляров, которые обозначим  $A''_1$  и  $B''_1$ . Поэтому  $BA''_1 = CA''_2$  и  $A''_1B''_1 = BC = \frac{1}{3}A''B''$ . Кроме того, поскольку  $OB = OC$  (как радиусы описанной окружности), то и  $OB'' = OC''$ , как образы этих отрезков при гомотетии.

Следовательно,  $BB'' = CC''$  и прямоугольные треугольники  $BB''A''_1$  и  $CC''A''_2$  будут равны (по катету и гипotenузе). Значит,  $B''A''_1 = CA''_2$ . И, так как  $A''_1B''_1 = \frac{1}{3}A''B''$ , то  $B''A''_1 = A''_1B''_1 = CA''_2 = \frac{1}{3}B''C''$ , т.е. точки  $A''_1$  и  $B''_1$  являются образами точек  $A_1$  и  $A_2$  при рассматриваемой гомотетии.

Точно так же доказывается, что точки  $B_1, B_2, C_1, C_2$  переходят в точки  $B''_1, B''_2, C''_1, C''_2$  соответственно.

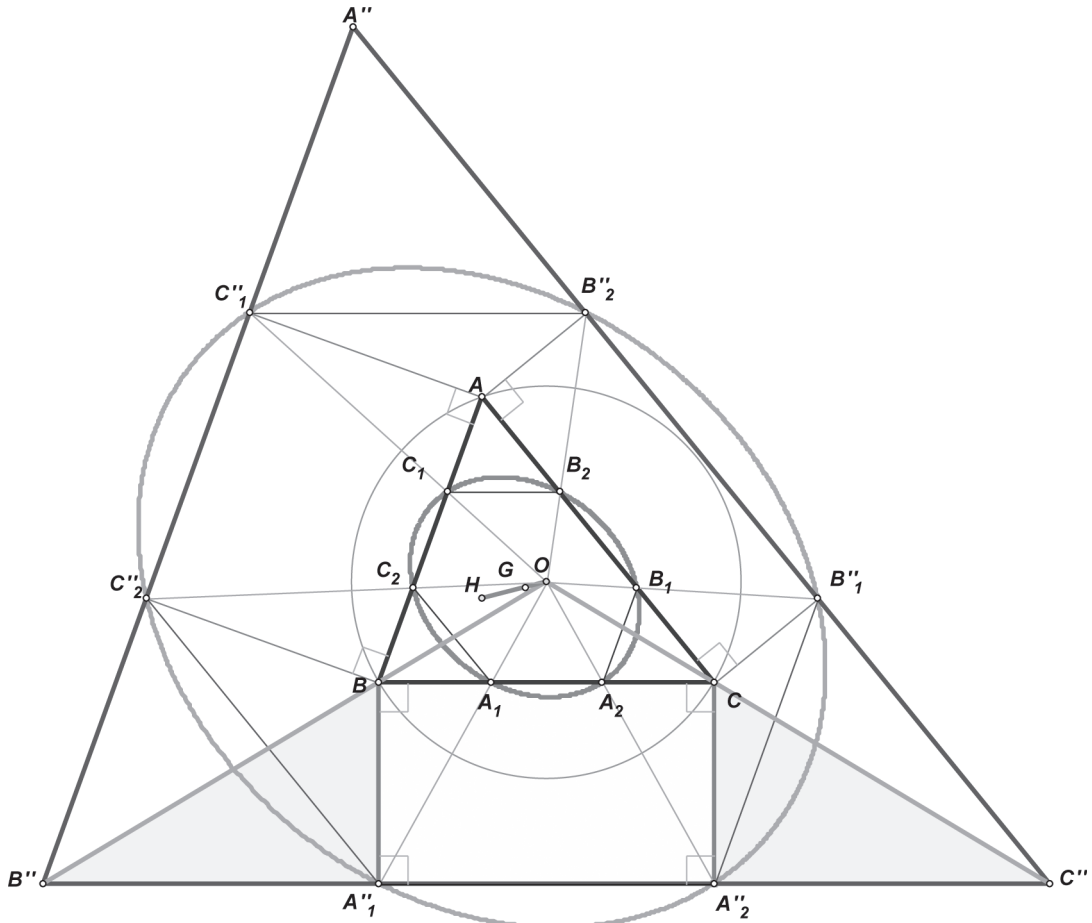


Рис. 6.

Наконец, по самому способу построения, очевидно, что отрезки  $B''_2C''_1$ ,  $B''_1A''_2$  и  $A''_1C''_2$  таковы именно, какими мы представили их в начале данного параграфа.

То же, что центроид треугольника  $G$  указанной гомотетией переводится в ортоцентр  $H$ , следует из факта существования классического объекта — так называемой *прямой Эйлера*. На ней, как известно, лежат точки  $H, G, O$  — причем  $G$  делит отрезок  $HO$  внутренним образом в отношении 2:1, см. [5]–[8], [10].  $\square$

#### § 4. Пара коник, задаваемых точками касания вписанной и вневписанных окружностей

**Теорема 4.1.** Пусть  $B_a, C_a, C_b, A_b, A_c, B_c$  — точки касания вневписанных окружностей с продолжениями сторон  $BC, CA, AB$  треугольника  $ABC$ .

Тогда эти точки принадлежат одной конике, центр которой  $P$  имеет следующие барицентрические координаты (рис. 7):

$$P = \frac{a^2 (a^4 - 2abc(b+c-a) - (b^2 - c^2)^2)}{b+c-a} : \\ \frac{b^2 (b^4 - 2abc(c+a-b) - (c^2 - a^2)^2)}{c+a-b} : \\ \frac{c^2 (c^4 - 2abc(a+b-c) - (a^2 - b^2)^2)}{a+b-c}.$$

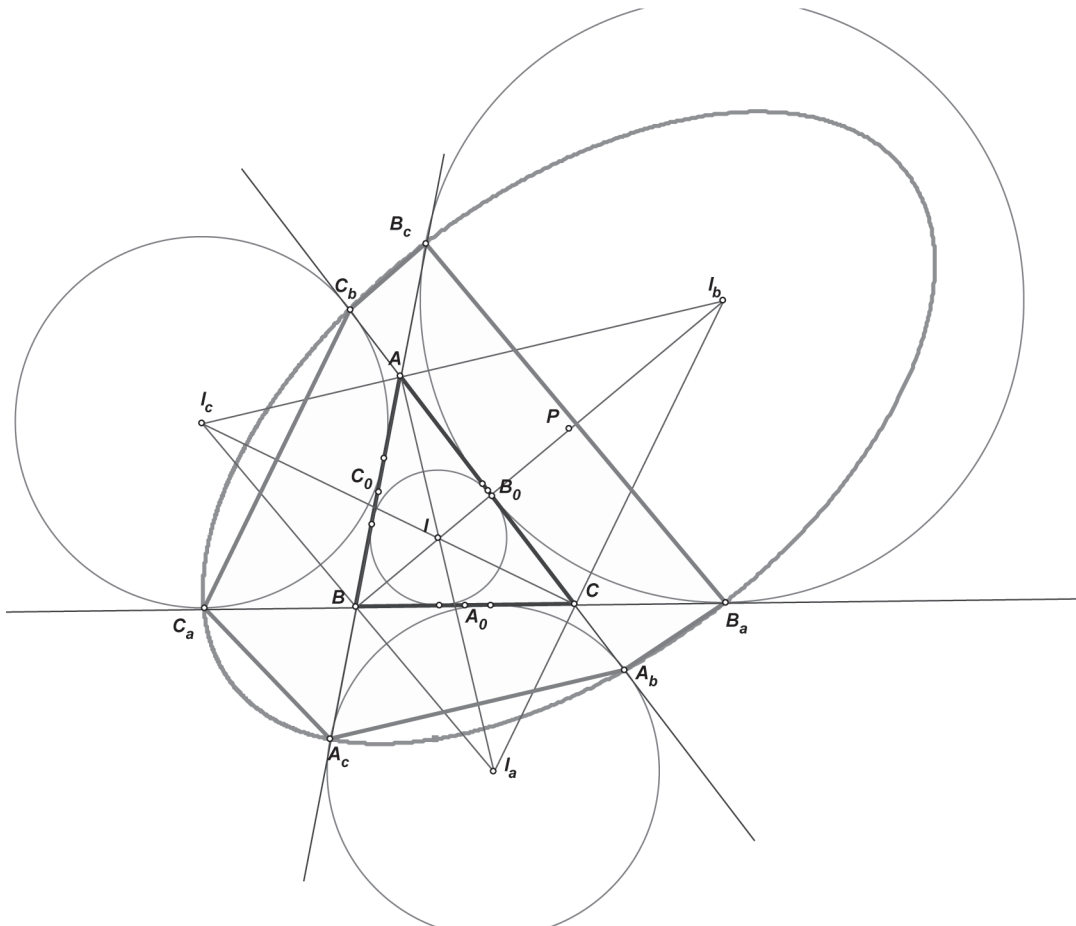


Рис. 7.

*Доказательство.* Пусть  $p = \frac{a+b+c}{2}$  — полупериметр треугольника  $ABC$ . То, что указанные шесть точек лежат на одной конике, сразу получим, воспользовавшись следствием 1.1, поскольку  $BC_a = CB_a = p - a$ ,  $CA_b = AC_b = p - b$ ,  $AB_c = BA_c = p - c$  (см. [5]–[8], [10]). Далее выпишем координаты точек:

$$B_a = 0 : CB_a : -BB_a = 0 : p - a : -p; \quad C_a = 0 : -CC_a : BC_a = 0 : -p : p - a$$

(так как  $BB_a = BC + CB_a = a + (p - a) = p = BC + BC_a = CC_a$ );

$$A_b = CA_b : 0 : -AA_b = p - b : 0 : -p; \quad C_b = CC_b : 0 : AC_b = -p : 0 : p - b; \\ B_c = -BB_c : AB_c : 0 = -p : p - c : 0; \quad A_c = BA_c : -AA_c : 0 = p - c : -p : 0.$$

Подставив теперь координаты точек в уравнение коники, получим, что<sup>16</sup>

$$u = v = w = 1; \quad f = \frac{(b+c)^2 + a^2}{(b+c)^2 - a^2}; \quad g = \frac{(c+a)^2 + b^2}{(c+a)^2 - b^2}; \quad h = \frac{(a+b)^2 + c^2}{(a+b)^2 - c^2}.$$

В силу неравенства треугольника знаменатели всех дробей положительны:

$$(b+c)^2 - a^2 = (b+c-a)(b+c+a) > 0 \quad \text{и т.д.}$$

Считаем дальше, используя формулы из теоремы 1.3:

$$\begin{aligned} U &= -\frac{4a^2(b+c)^2}{(b+c-a)^2(a+b+c)^2}, & V &= -\frac{4b^2(c+a)^2}{(c+a-b)^2(a+b+c)^2}, \\ W &= -\frac{4c^2(a+b)^2}{(a+b-c)^2(a+b+c)^2}. \\ F &= \frac{(a+b)^2 + c^2}{(a+b+c)^2(a+b-c)(a+c-b)} - \frac{a^2 + (b+c)^2}{(b+c-a)(a+b+c)}. \end{aligned}$$

Поскольку пошли уже довольно длинные выражения, мы не будем выписывать формулы для  $G$  и  $H$ , а только отметим, что  $G$  получается из  $F$  посредством циклического сдвига  $a \rightarrow b \rightarrow c \rightarrow a$ . И точно так же из  $G$  затем получается  $H$ .

Тогда первая координата центра коники имеет вид:

$$\frac{b^2 \left( b^4 - 2abc(c+a-b) - (c^2 - a^2)^2 \right)}{c+a-b} \cdot \frac{4}{(a+b+c)^2(b+c-a)(c+a-b)(a+b-c)},$$

а две другие получаются из нее циклическими сдвигами. И после сокращения на общий множитель

$$\frac{4}{(a+b+c)^2(b+c-a)(c+a-b)(a+b-c)}$$

как раз и получаются заявленные в условии выражения для координат центра.  $\square$

**Замечание 4.1.** Как показывает компьютер, данная коника может быть, в зависимости от длин сторон треугольника, как эллипсом, так и параболой или гиперболой.

Когда именно она принимает тот или иной вид, зависит от знака выражения  $\Phi = U + V + W + 2(F + G + H)$ , согласно теореме 3.1. Подсчеты дают следующее:

$$\Phi = -\frac{4}{(a+b+c)^2(b+c-a)^2(c+a-b)^2(a+b-c)^2} \cdot P(a, b, c),$$

где

$$\begin{aligned} P(a, b, c) &= a^8 + b^8 + c^8 - 2(b^4c^4 + c^4a^4 + a^4b^4) + 4a^2b^2c^2(a^2 + b^2 + c^2) + \\ &\quad + 4abc(a^5 + b^5 + c^5 - b^4c - c^4a - a^4b). \end{aligned}$$

Поскольку знаменатель дроби положителен, то при  $P < 0$  имеем эллипс, при  $P = 0$  — параболу, и при  $P > 0$  гиперболу.

К сожалению, мы не смогли разложить многочлен  $P$  на множители, и потому каких-либо более емких критериев выявить не удалось. Но для каждого треугольника с конкретно заданными длинами сторон вид коники по знаку  $P$  определить несложно (рис. 8).

<sup>16</sup>Здесь и далее, в целях экономии бумаги, мы опускаем рутинные, но порою громоздкие тождественные преобразования. По ходу дела мы часто пользовались еще и однородностью коэффициентов и координат, домножая и сокращая некоторые выражения на общие множители. Так, для начала можно положить  $f = 1$ , например.

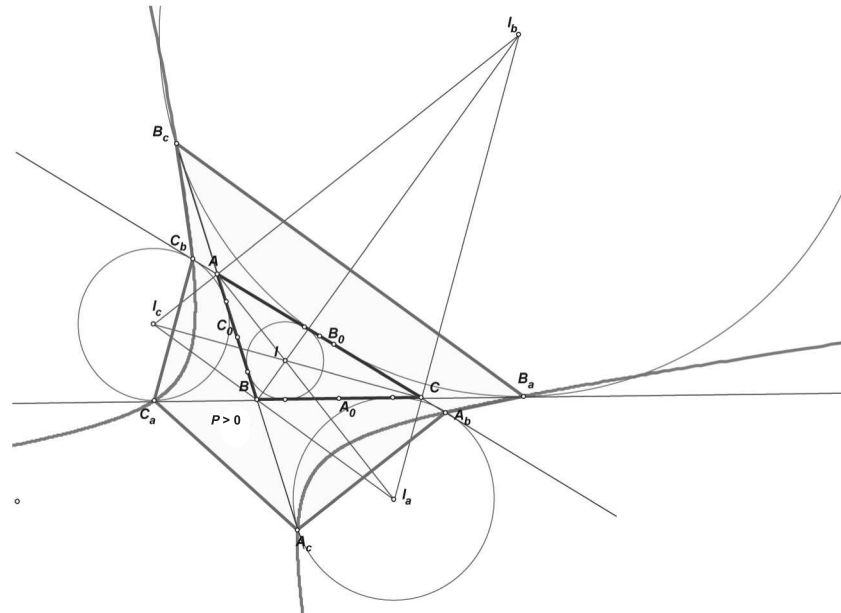


Рис. 8.

**Замечание 4.2.** Как позже выяснилось, центр рассмотренной коники (равно как и она сама) указан в [9] — это точка  $X(478)$  под говорящим названием *Center of Yiu conic*. Таким образом, эта коника была открыта лет 20 назад известным американским геометром Полем Ю (Paul Yiu), редактором замечательного журнала [11]. Но совпадение не хочется считать досадным — иметь таких предшественников почетно!

**Теорема 4.2.** Пусть  $A_1, B_1, C_1, A_2, B_2, C_2$  — точки касания вписанной и вневписанных окружностей со сторонами  $BC, CA, AB$  треугольника  $ABC$  соответственно (рис. 9).

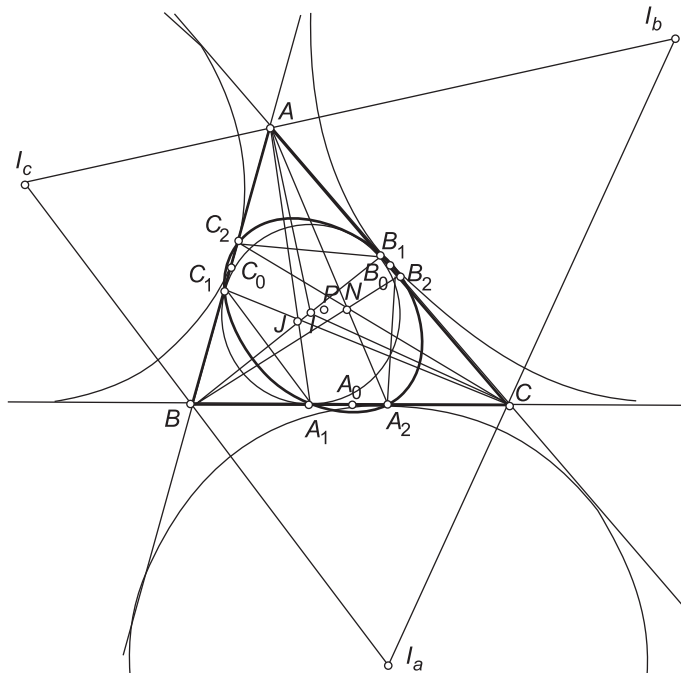


Рис. 9.

Тогда эти точки принадлежат одной конике, центр которой  $P$  имеет следующие барицентрические координаты:

$$P = a^2(c + b - a) \left( a^3 - a^2(b + c) - (b - c)^2(b + c) + a(b^2 + c^2) \right) : \dots : \dots$$

(две другие получаются из первой циклическими сдвигами  $a \rightarrow b \rightarrow c \rightarrow a$ ).

Первую координату также можно представить в виде

$$a^2(c+b-a)(a^3-b^3-c^3+cb^2+bc^2+ab^2+ac^2-ba^2-ca^2).$$

*Доказательство.* Пусть  $p = \frac{a+b+c}{2}$  — полупериметр треугольника  $ABC$ . То, что указанные шесть точек лежат на одной конике, сразу получим, воспользовавшись следствием 1.1, поскольку  $BA_1 = CA_2 = p - a$ ,  $CB_1 = AB_2 = p - b$ ,  $AC_1 = BC_2 = p - c$ . (см. [5]–[8], [10]).

Можно также было воспользоваться следствием 1.2, поскольку прямые  $AA_1, BB_1, CC_1$  пересекаются в точке  $J$  (так называемой *точке Жергонна* —  $X(7)$  в [9]), а прямые  $AA_2, BB_2, CC_2$  — в точке  $N$  (так называемой *точке Нагеля* —  $X(8)$  в [9]), см. также [5]–[8], [10].

Далее выпишем координаты точек:

$$A_1 = 0 : CB_1 : BB_1 = 0 : p - c : p - b; \quad A_2 = 0 : CB_2 : BB_2 = 0 : p - b : p - c;$$

$$B_1 = CB_1 : 0 : AB_1 = p - c : 0 : p - a; \quad B_2 = CB_2 : 0 : AB_2 = p - a : 0 : p - c;$$

$$C_1 = BC_1 : AC_1 : 0 = p - b : p - a : 0; \quad C_2 = BC_2 : AC_2 : 0 = p - a : p - b : 0.$$

Подставив теперь координаты точек в уравнение коники, получим, что

$$u = v = w = 1; \quad f = \frac{(b - c)^2 + a^2}{(b - c)^2 - a^2}; \quad g = \frac{(c - a)^2 + b^2}{(c - a)^2 - b^2}; \quad h = \frac{(a - b)^2 + c^2}{(c - a)^2 - b^2}.$$

(В силу неравенства треугольника знаменатели всех дробей отрицательны:  $(b - c)^2 - a^2 = (b - c - a)(b - c + a) < 0$  и т.д). Дальнейшие подсчеты, с использованием формул из теоремы 1.3, приводят к тому, что:

$$\begin{aligned} U &= -\frac{4a^2(b - c)^2}{(b + c - a)^2(a + b - c)^2}, & V &= -\frac{4b^2(c - a)^2}{(c + a - b)^2(c + b - a)^2}, \\ W &= -\frac{4c^2(a - b)^2}{(c + a - b)^2(b + c - a)^2}. \\ F &= \frac{2(a^4 + b^4 + c^4 - 2a^3(b + c) + 2a^2(b^2 + bc + c^2) - 2a(b^3 + c^3))}{(b + c - a)^2(c + a - b)(a + b - c)}. \end{aligned}$$

$G$  получается из  $F$  посредством циклического сдвига  $a \rightarrow b \rightarrow c \rightarrow a$ , и  $H$  — из  $G$ . Тогда первая координата центра коники имеет вид:

$$\frac{4a^2 \left( a^3 - a^2(b + c) - (b - c)^2(b + c) + a(b^2 + c^2) \right)}{(c + b - a)^2(a + c - b)^2(b + a - c)^2},$$

а две другие получаются из нее циклическими сдвигами. И после сокращения на общий множитель

$$\frac{4}{(b + c - a)^2(c + a - b)^2(a + b - c)^2}$$

возникают заявленные в условии выражения для координат центра.  $\square$

**Замечание 4.3.** И здесь, согласно компьютеру, данная коника может быть, в зависимости от длин сторон треугольника, как эллипсом, так и параболой или гиперболой.

Когда именно она принимает тот или иной вид, — зависит от знака выражения  $\Phi = U + V + W + 2(F + G + H)$ , согласно теореме 3.1. Подсчеты приводят к выражению:

$$\Phi = \frac{4}{(b + c - a)^2(c + a - b)^2(a + b - c)^2} \cdot P(a, b, c),$$

где

$$P(a, b, c) = -a^6 - b^6 - c^6 + 2(a^5b + b^5c + c^5a + ab^5 + bc^5 + ca^5) - 2(a^4bc + b^4ca + c^4ab) + 6a^2b^2c^2 - 3(a^4b^2 + b^4c^2 + c^4a^2 + a^2b^4 + b^2c^4 + c^2a^4) + 4(b^3c^3 + c^3a^3 + a^3b^3).$$

Поскольку знаменатель дроби положителен, то при  $P > 0$  имеем эллипс, при  $P = 0$  — параболу, и при  $P < 0$  гиперболу.

И в этом случае нам также не удалось разложить многочлен  $P$  на множители.

**Замечание 4.4.** Рассмотренная коника теперь занесена в Энциклопедию Треугольных Центров [9], и ее центр получил номер  $X(5452)$ , см. далее § 10.

$X(5452) = \text{CENTER OF THE PRIVALOV CONIC}$  (центр коники Привалова).

## § 5. Равноокружностный эллипс

В произвольном треугольнике  $ABC$  рассмотрим следующие три пары окружностей (одинаковых в каждой паре):

Первые две равные друг другу окружности вписаны в углы при вершинах  $B$  и  $C$  соответственно и касаются внешним образом друг друга.

Вторые две касающиеся окружности вписаны в углы  $C$  и  $A$ .

Третья же пара — в углы  $A$  и  $B$ <sup>17</sup>.

Согласно [9], эту конфигурацию в 1990 г. ввел в геометрический обиход Иван Пааш (*Ivan Paashe*) — точка  $X(1123)$ , образованная пересечением прямых, соединяющих вершины треугольника с противоположными точками касания, названа в его честь: *Paashe point* (рис. 10).

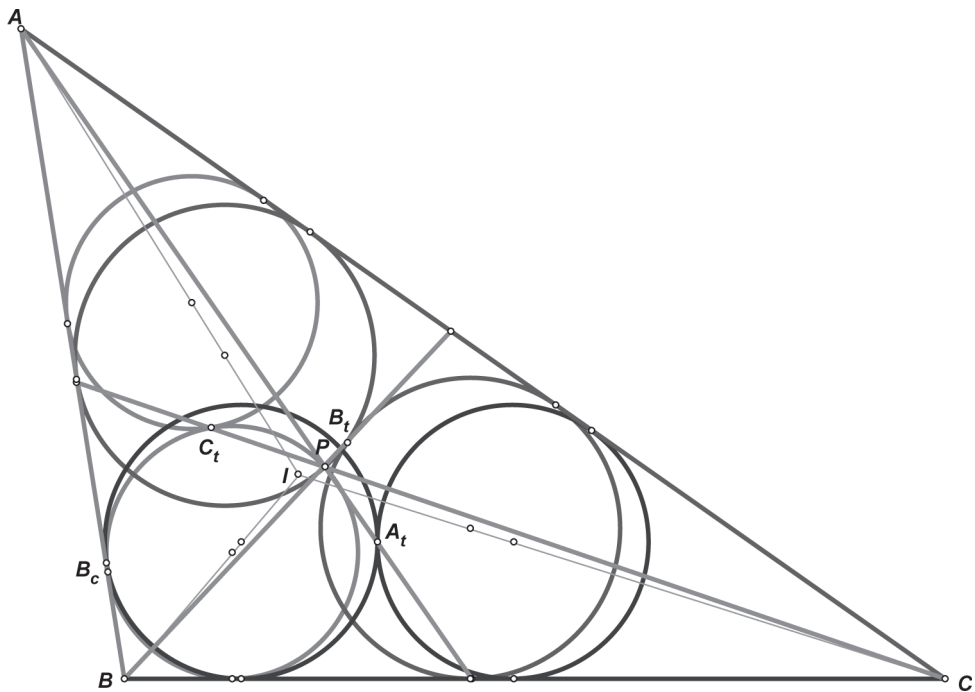


Рис. 10.

Поэтому будем называть описанную выше конструкцию *конфигурацией Пааша*.

**Теорема 5.1.** В конфигурации Пааша отметим точки  $B_a, C_a, C_b, A_b, A_c, B_c$  — точки касания соответствующих пар равных окружностей со сторонами  $BC, CA, AB$  соответственно.

Тогда эти шесть точек лежат на одной конике, причем ее центр  $M$  лежит внутри отрезка  $GI$ , соединяющего центроид треугольника с центром его вписанной окружности (а прямая,

<sup>17</sup>При этом все рассматриваемые окружности расположены *внутри* исходного треугольника.

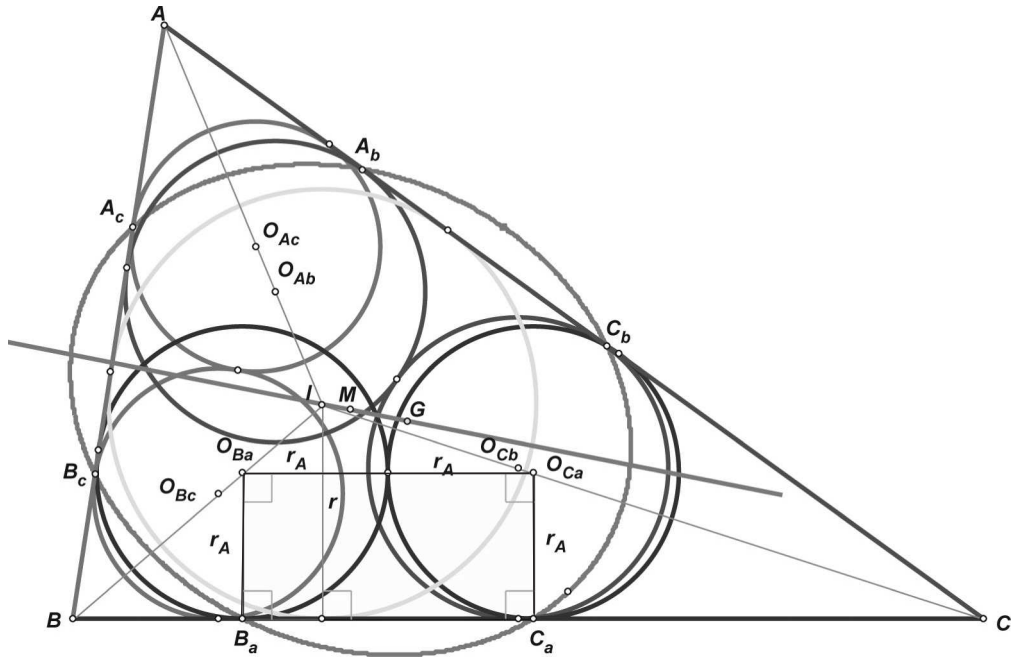


Рис. 11.

содержащая этот отрезок, называется *прямой Нагеля*, поскольку на ней также лежит и точка Нагеля  $N$ ). Известно также, что центроид  $G$  делит отрезок  $NI$  в отношении 2:1 внутренним образом, см. [5], [6], [8]). Кроме того,

$$\frac{GM}{IM} = \frac{p}{3r} = \frac{p^2}{3S}$$

(где, как обычно,  $p$  — полупериметр исходного треугольника,  $r$  — радиус вписанной в него окружности, а  $S$  — площадь).

Барицентрические координаты центра имеют следующий вид:

$$\begin{aligned} M = 2 + \cot \frac{B}{2} + \cot \frac{C}{2} : 2 + \cot \frac{C}{2} + \cot \frac{A}{2} : 2 + \cot \frac{A}{2} + \cot \frac{B}{2} &= \\ &= 2 + \frac{a}{r} : 2 + \frac{b}{r} : 2 + \frac{c}{r} = \frac{a}{r_A} : \frac{b}{r_B} : \frac{c}{r_C}, \end{aligned}$$

где  $a, b, c, A, B, C$  — длины соответствующих сторон треугольника и величины его соответствующих углов, а  $r_A, r_B, r_C$  — радиусы соответствующих окружностей Пааша.

*Доказательство.* Пусть  $O_{B_a}, O_{C_a}, O_{C_b}, O_{A_b}, O_{A_c}, O_{B_c}$  — центры рассматриваемых окружностей (рис. 11).

Очевидно, что четырехугольник  $O_{B_a}B_aC_aO_{C_a}$  является *прямоугольником*, причем  $O_{B_a}B_a = C_aO_{C_a} = r_A$  и  $O_{B_a}O_{C_a} = B_aC_a = 2r_A$ . Поэтому  $BB_a = r_A \cot \frac{B}{2}$  и

$$CB_a = CC_a + B_aC_a = r_A \left( \cot \frac{C}{2} + 2 \right) \Rightarrow \frac{BB_a}{CB_a} = \frac{\cot \frac{B}{2}}{\cot \frac{C}{2} + 2}.$$

Совершенно аналогично,

$$\begin{aligned} \frac{BC_a}{CC_a} = \frac{\cot \frac{B}{2} + 2}{\cot \frac{C}{2}}, \quad \frac{CC_b}{AC_b} = \frac{\cot \frac{C}{2}}{\cot \frac{A}{2} + 2}, \quad \frac{CA_b}{AA_b} = \frac{\cot \frac{C}{2} + 2}{\cot \frac{A}{2}}, \quad \frac{AA_c}{BA_c} = \frac{\cot \frac{A}{2}}{\cot \frac{B}{2} + 2} \\ \text{и} \quad \frac{AB_c}{BB_c} = \frac{\cot \frac{A}{2} + 2}{\cot \frac{B}{2}}. \end{aligned}$$

Поэтому условие Карно (теорема 1.1), конечно же, выполняется:

$$\begin{aligned} & \left( \frac{\overrightarrow{BB_a}}{\overrightarrow{CB_a}} \cdot \frac{\overrightarrow{BC_a}}{\overrightarrow{CC_a}} \right) \cdot \left( \frac{\overrightarrow{CC_b}}{\overrightarrow{AC_b}} \cdot \frac{\overrightarrow{CA_b}}{\overrightarrow{AA_b}} \right) \cdot \left( \frac{\overrightarrow{AA_c}}{\overrightarrow{BA_c}} \cdot \frac{\overrightarrow{AB_c}}{\overrightarrow{BB_c}} \right) = \\ & = -\frac{\cot \frac{B}{2}}{\cot \frac{C}{2} + 2} \cdot -\frac{\cot \frac{B}{2} + 2}{\cot \frac{C}{2}} \cdot -\frac{\cot \frac{C}{2}}{\cot \frac{A}{2} + 2} \cdot -\frac{\cot \frac{C}{2} + 2}{\cot \frac{A}{2}} \cdot -\frac{\cot \frac{A}{2}}{\cot \frac{B}{2} + 2} \cdot -\frac{\cot \frac{A}{2} + 2}{\cot \frac{B}{2}} = 1. \end{aligned}$$

Итак, принадлежность точек одной коникуе доказана.

Далее, поскольку отношения, в которых точки делят стороны, уже найдены, то легко выписать их координаты:

$$\begin{aligned} B_a &= 0 : \cot \frac{C}{2} + 2 : \cot \frac{B}{2}; & C_a &= 0 : \cot \frac{C}{2} : \cot \frac{B}{2} + 2; \\ C_b &= \cot \frac{C}{2} : 0 : \cot \frac{A}{2} + 2; & A_b &= \cot \frac{C}{2} + 2 : 0 : \cot \frac{A}{2}; \\ A_c &= \cot \frac{B}{2} + 2 : \cot \frac{A}{2} : 0; & B_c &= \cot \frac{B}{2} : \cot \frac{A}{2} + 2 : 0. \end{aligned}$$

Подставив затем координаты точек в уравнение коникуе (теорема 1.2), получим, что

$$\begin{aligned} u &= 2 \cot \frac{A}{2} \left( \cot \frac{A}{2} + 2 \right); \quad v = 2 \cot \frac{B}{2} \left( \cot \frac{B}{2} + 2 \right); \quad w = 2 \cot \frac{C}{2} \left( \cot \frac{C}{2} + 2 \right); \\ f &= -(\cot \frac{C}{2} \cdot \cot \frac{B}{2} + \left( \cot \frac{C}{2} + 2 \right) \left( \cot \frac{B}{2} + 2 \right)); \\ g &= -(\cot \frac{A}{2} \cdot \cot \frac{C}{2} + \left( \cot \frac{A}{2} + 2 \right) \left( \cot \frac{C}{2} + 2 \right)); \\ h &= -(\cot \frac{B}{2} \cdot \cot \frac{A}{2} + \left( \cot \frac{B}{2} + 2 \right) \left( \cot \frac{A}{2} + 2 \right)). \end{aligned}$$

Совершив, для удобства дальнейших вычислений, замены  $x = \cot \frac{A}{2} > 0$ ,  $y = \cot \frac{B}{2} > 0$  и  $z = \cot \frac{C}{2} > 0$ , найдем по формулам из теоремы 1.3 значения  $U, V, W, F, G, H$ :

$$\begin{aligned} U &= -4(2+y+z)^2; \quad V = -4(2+z+x)^2; \quad W = -4(2+x+y)^2; \\ F &= 4((2+y)(2+z) + x^2(3+2y+2z+2yz) + x(8+5y+5z+4yz)); \\ G &= 4((2+z)(2+x) + y^2(3+2z+2x+2zx) + y(8+5z+5x+4zx)); \\ H &= 4((2+x)(2+y) + z^2(3+2x+2y+2xy) + y(8+5x+5y+4xy)). \end{aligned}$$

Так же аккуратно приведя и сгруппировав подобные, по формулам из все той же теоремы 3.1, для координат центра получим<sup>18</sup>:

$$\begin{aligned} M &= 8(1+x)(1+y)(1+z)(2+y+z) : 8(1+x)(1+y)(1+z)(2+z+x) : \\ &\quad : 8(1+x)(1+y)(1+z)(2+x+y) \end{aligned}$$

Остается только с удовольствием сократить на общий множитель  $8(1+x)(1+y)(1+z)$ :

$$\begin{aligned} M &= 2+y+z : 2+z+x : 2+x+y = \\ &= 2 + \cot \frac{B}{2} + \cot \frac{C}{2} : 2 + \cot \frac{C}{2} + \cot \frac{A}{2} : 2 + \cot \frac{A}{2} + \cot \frac{B}{2}. \end{aligned}$$

<sup>18</sup>К своей немалой радости!

Две другие формы записи координат

$$M = 2 + \frac{a}{r} : 2 + \frac{b}{r} : 2 + \frac{c}{r} = \frac{a}{r_A} : \frac{b}{r_B} : \frac{c}{r_C}$$

сразу следуют из только что полученной формы и очевидных соотношений

$$a = \left( \cot \frac{B}{2} + \cot \frac{C}{2} \right) r; \quad b = \left( \cot \frac{C}{2} + \cot \frac{A}{2} \right) r; \quad c = \left( \cot \frac{A}{2} + \cot \frac{B}{2} \right) r$$

и

$$a = \left( \cot \frac{B}{2} + \cot \frac{C}{2} + 2 \right) r_A; \quad b = \left( \cot \frac{C}{2} + \cot \frac{A}{2} + 2 \right) r_B; \quad c = \left( \cot \frac{A}{2} + \cot \frac{B}{2} + 2 \right) r_C.$$

В заключение разберемся с коллинеарностью точек  $G, M, I$ , используя немного геометрию масс (все необходимое для понимания имеется в [6], [10]).

Итак,  $M = 2 + \frac{a}{r} : 2 + \frac{b}{r} : 2 + \frac{c}{r}$ , т.е.  $M$  является центром масс системы материальных точек  $(2 + \frac{a}{r})A : (2 + \frac{b}{r})B : (2 + \frac{c}{r})C$ .

Эту систему можно разбить на две подсистемы:  $2A, 2B, 2C$  (с центром масс в  $G$  и суммарной массой 6) и  $\frac{a}{r}A, \frac{b}{r}B, \frac{c}{r}C$  (с центром в  $I$  и суммарной массой  $\frac{a+b+c}{r} = \frac{2p}{r}$ ). Из правил группировки и рычага тогда получим, что  $M \in [GI]$  (т.к. суммарные массы одного знака — в данном случае «+», то деление отрезка  $GI$  точкой  $M$  осуществляется *внутренним* образом) и

$$6 \cdot GM = \frac{2p}{r} \cdot IM \Leftrightarrow \frac{GM}{IM} = \frac{p}{3r}.$$

И, если применить известную формулу о площади треугольника через радиус вписанной окружности (см. [7], [8]), то полученное отношение можно переписать несколько по-другому:

$$S_{ABC} = p \cdot r \Rightarrow \frac{GM}{IM} = \frac{p}{3 \left( \frac{S}{p} \right)} = \frac{p^2}{3S}. \quad \square$$

**Теорема 5.2.** Рассматриваемая коника является эллипсом.

*Доказательство.* После приведения подобных и разложения на множители выражение  $\Phi$  (из теоремы 3.1), знак которого определяет тип коники, примет следующий прекрасный вид:

$$\Phi = 16(1+x)(1+y)(1+z)(3+x+y+z) > 0 \text{ (так как } x, y, z > 0).$$

Стало быть, по теореме 1.3, наша коника представляет из себя эллипс.

**Замечание 5.1.** Рассмотренная коника теперь занесена в Энциклопедию Треугольных Центров [9], и ее центр получил номер  $X(5393)$ :

$X(5393) = \text{CENTER OF THE PAACHE-MYAKISHEV ELLIPSE}$  (центр эллипса Пааша-Мякишева)

Barycentrics (барицентрические координаты)  $2 + \cot(B/2) + \cot(C/2) : 2 + \cot(C/2) + \cot(A/2) : 2 + \cot(A/2) + \cot B/2$

Barycentrics (барицентрические координаты)  $a + 2r : b + 2r : c + 2r$

$X(5393) = s * X(1) + 3r * X(2)$  (Peter Moses, January 2, 2013)

Let  $W(B_A)$  and  $W(C_A)$  be the two congruent circles, within triangle  $ABC$ , each tangent to the other and to sideline  $BC$  of triangle  $ABC$ , with  $W(B_A)$  also tangent to sideline  $AB$  and  $W(C_A)$  also tangent to sideline  $AC$ ; cf. the Paache configuration at  $X(1123)$ . Let  $B_A$  and  $C_A$  be the touchpoints of these circles with sideline  $BC$ . Define the points  $C_B, A_C$  cyclically and define the points  $A_B, B_C$  cyclically. The six points lie on an ellipse having center  $X(5393)$  and equation

$$d(2+d)x^2 + e(2+e)y^2 + f(2+f)z^2 - 2(2+e+f+ef)yz - 2(2+f+d+fd)zx - 2(2+d+e+de)xy = 0,$$

where  $d = \cot(A/2)$ ,  $e = \cot(B/2)$ ,  $f = \cot(C/2)$ .

Let  $X = X(5393)$ . Then  $|GX|/|IX| = s/(3r)$ , where  $G$  = centroid,  $I$  = incenter,  $r$  = inradius, and  $s$  = semiperimeter. (Alexei Myakishev, December 25, 2012).

If you have The Geometer's Sketchpad, you can view  $X(5393)$ , including the ellipse. You can also view the configuration for pairs of circles used in the constructions of  $X(5393)$  and  $X(5405)$ : *Pairs of Circles*.

$X(5393)$  lies on these lines:  $\{1, 2\}$ ,  $\{9, 3068\}$ ,  $\{37, 590\}$ ,  $\{57, 482\}$ ,  $\{81, 3300\}$ ,  $\{175, 5226\}$ ,  $\{226, 481\}$ ,  $\{491, 4357\}$ ,  $\{492, 3879\}$ ,  $\{515, 2048\}$ ,  $\{615, 1100\}$ ,  $\{642, 3666\}$ ,  $\{940, 1335\}$ ,  $\{1124, 4383\}$ ,  $\{1255, 3302\}$ ,  $\{1267, 3875\}$ ,  $\{1449, 3069\}$ ,  $\{1585, 1785\}$ ,  $\{1991, 4643\}$ <sup>19</sup>

Русский перевод (добавлен редакцией): Пусть  $W(B_A)$  и  $W(C_A)$  — две конгруэнтные окружности внутри треугольника  $ABC$ , каждая из которых касается другой, а также стороны  $BC$  треугольника  $ABC$ , причем  $W(B_A)$  касается также стороны  $AB$ , а  $W(C_A)$  — стороны  $AC$ ; сравните с конфигурацией Пааша для центра  $X(1123)$ . Пусть  $B_A$  и  $C_A$  — точки касания этих окружностей со стороной  $BC$ . Определим точки  $C_B$ ,  $A_C$  циклически, также определим циклически точки  $A_B$ ,  $B_C$ . Эти шесть точек лежат на эллипсе с центром  $X(5393)$ ; уравнение эллипса:

$$d(2+d)x^2 + e(2+e)y^2 + f(2+f)z^2 - 2(2+e+f+ef)yz - 2(2+f+d+fd)zx - 2(2+d+e+de)xy = 0,$$

где  $d = \cot(A/2)$ ,  $e = \cot(B/2)$ ,  $f = \cot(C/2)$ .

Пусть  $X = X(5393)$ . Тогда  $|GX|/|IX| = s/(3r)$ , где  $G$  — центроид,  $I$  — центр вписанной окружности,  $r$  ее радиус и  $s$  — полупериметр. (Алексей Мякишев, 25 декабря, 2012).

Если у вас есть программа “The Geometer's Sketchpad”, вы можете увидеть  $X(5393)$ , а также этот эллипс. Вы можете также увидеть конфигурацию пар окружностей, используемых при построении центров  $X(5393)$  и  $X(5405)$ : *Pairs of Circles*.

Точка  $X(5393)$  лежит на следующих прямых:  $\{1, 2\}$ ,  $\{9, 3068\}$ ,  $\{37, 590\}$ ,  $\{57, 482\}$ ,  $\{81, 3300\}$ ,  $\{175, 5226\}$ ,  $\{226, 481\}$ ,  $\{491, 4357\}$ ,  $\{492, 3879\}$ ,  $\{515, 2048\}$ ,  $\{615, 1100\}$ ,  $\{642, 3666\}$ ,  $\{940, 1335\}$ ,  $\{1124, 4383\}$ ,  $\{1255, 3302\}$ ,  $\{1267, 3875\}$ ,  $\{1449, 3069\}$ ,  $\{1585, 1785\}$ ,  $\{1991, 4643\}$ .

**Замечание 5.2.** В начале 2013 г. американский математик Peter Moses сообщил, что если рассматривать вписанные в углы пары равных окружностей, не содержащихся внутри исходного треугольника, то точки касания также будут всегда лежать на некоторой конике (но не всегда — на эллипсе).

Просто «скопипастим» соответствующий текст из *ETC* (поскольку вывод уравнения коники и координат центра — полностью аналогичен предыдущему), сопроводив его некоторыми комментариями

$X(5405) = \text{CENTER OF THE PAACHE-MYAKISHEV-MOSES CONIC}$  (центр коники Пааша-Мякишева-Мозеса)

An associated conic, the Paache-Myakishev-Moses conic, is introduced at  $X(5405)$ . This conic results from the two congruent circles that do *not* lie within triangle  $ABC$ .

$$\text{Barycentrics } 2 - \cot(B/2) - \cot(C/2) : 2 - \cot(C/2) - \cot(A/2) : 2 - \cot(A/2) - \cot B/2)$$

---

<sup>19</sup>И за каждой из таких прямых (содержащих центр рассматриваемой коники и найденных банальным компьютерным перебором) — какая же *притянулась* геометрия? Бог весть. Но отыскивать самобытную геометрическую суть столь многочисленных вдруг появившихся задач — навряд ли найдутся охотники.

Этот пример на самом деле довольно убедительно (хоть и в миниатюре) демонстрирует как плюсы, так и минусы *компьютерных технологий и НТР* в целом — мы очень многое узнаем о том, как происходит то или иное явление, но совсем немногое (или просто *ничего*) о том — *почему*.

Таким образом, постепенно у многих *пользователей PC* пропадает желание и отбивается охота разбираться в *глубинных сущностях и первопричинах тех или иных вещей (событий)* — и прививается *поверхностно-легкомысленное* отношение вообще к чему бы то ни было.

А интересно, все же, было бы запустить программку, и прояснить еще, какие «энциклопедические» точки лежат на самой конике (этой и других, здесь рассматриваемых). Соблазн велик! Но я такой программой не располагаю, хотя и написать ее было бы, полагаю, делом несложным — тому, кто в этом разбирается.

$$\text{Barycentrics } a - 2r : b - 2r : c - 2r \quad X(5405) = s * X(1) - 3r * X(2)$$

(Peter Moses, January 2, 2013)

For the construction of this conic, see  $X(5393)$ , where the associated Paache-Myakishev ellipse is introduced.

If you have The Geometer's Sketchpad, you can view  $X(5405)$ , including the conic.

$X(5405)$  lies on these lines:  $\{1, 2\}$ ,  $\{9, 3069\}$ ,  $\{37, 615\}$ ,  $\{57, 481\}$ ,  $\{81, 3299\}$ ,  $\{176, 5226\}$ ,  $\{226, 482\}$ ,  $\{491, 3879\}$ ,  $\{492, 4357\}$ ,  $\{590, 1100\}$ ,  $\{591, 4643\}$ ,  $\{641, 3666\}$ ,  $\{940, 1124\}$ ,  $\{946, 2048\}$ ,  $\{1255, 3300\}$ ,  $\{1335, 4383\}$ ,  $\{1449, 3068\}$ ,  $\{1586, 1785\}$ ,  $\{1659, 5219\}$  (рис. 12)

Русский перевод (добавлен редакцией): Ассоциированная коника, коника Пааша-Мякишева-Мозеса, введена для центра  $X(5405)$ . Эта коника получается из двух конгруэнтных окружностей, которые не лежат внутри треугольника  $ABC$ .

Барицентрические координаты  $2 - \cot(B/2) - \cot(C/2) : 2 - \cot(C/2) - \cot(A/2) : 2 - \cot(A/2) - \cot B/2$

$$\text{Барицентрические координаты } a - 2r : b - 2r : c - 2r \quad X(5405) = s * X(1) - 3r * X(2)$$

(Питер Мозес, 2 января, 2013)

За описанием построения этой коники обратитесь к центру  $X(5393)$ , где введен ассоциированный эллипс Пааша-Мякишева.

Если у вас есть программа “The Geometer’s Sketchpad”, вы можете увидеть  $X(5405)$ , а также конику.

Точка  $X(5405)$  лежит на следующих прямых:  $\{1, 2\}$ ,  $\{9, 3069\}$ ,  $\{37, 615\}$ ,  $\{57, 481\}$ ,  $\{81, 3299\}$ ,  $\{176, 5226\}$ ,  $\{226, 482\}$ ,  $\{491, 3879\}$ ,  $\{492, 4357\}$ ,  $\{590, 1100\}$ ,  $\{591, 4643\}$ ,  $\{641, 3666\}$ ,  $\{940, 1124\}$ ,  $\{946, 2048\}$ ,  $\{1255, 3300\}$ ,  $\{1335, 4383\}$ ,  $\{1449, 3068\}$ ,  $\{1586, 1785\}$ ,  $\{1659, 5219\}$  (рис. 12).

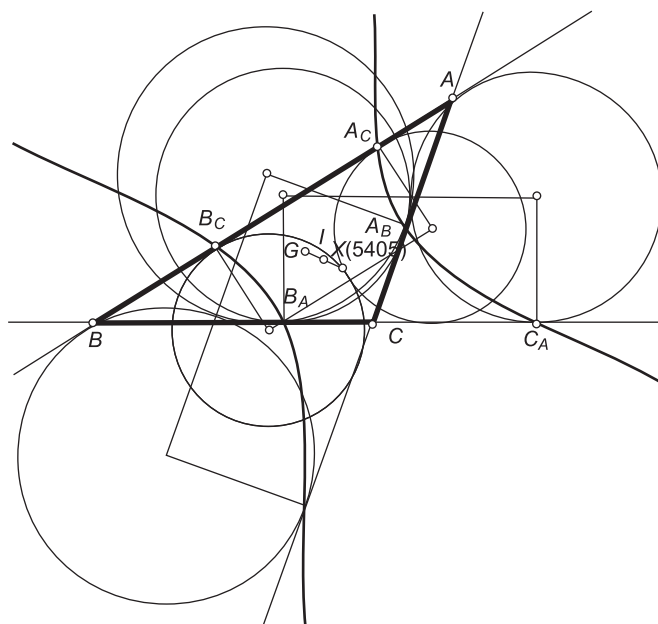


Рис. 12.

К этому можно еще добавить следующее.

Во-первых, уравнение данной коники получается из уравнения рассмотренного выше эллипса простой заменой во всех коэффициентах котангенсов половинных углов на противоположные им по знаку, т.е.:  $\cot \frac{A}{2} \rightarrow -\cot \frac{A}{2}$ ,  $\cot \frac{B}{2} \rightarrow -\cot \frac{B}{2}$ ,  $\cot \frac{C}{2} \rightarrow -\cot \frac{C}{2}$ .

То же самое относится и к координатам центра в их тригонометрической форме.

Там же, где они выражены через стороны и радиус, надо поменять знаки у соответствующих дробей (или, после приведения к общему знаменателю  $r$  и сокращению на него — поставить минус перед  $2r$ ):  $\frac{a}{r} \rightarrow -\frac{a}{r}$ ,  $\frac{b}{r} \rightarrow -\frac{b}{r}$ ,  $\frac{c}{r} \rightarrow -\frac{c}{r}$ .

Во-вторых, скажем несколько слов и о центре коники — им будет всегда *конечная* точка плоскости, поскольку общая сумма координат центра:  $6 - \frac{a+b+c}{r} = 2(3 - \frac{a+b+c}{2r})$  — отрицательна, ведь любая из сторон треугольника больше диаметра вписанной в него окружности.

Если же исходить из тригонометрической формы, надо показать, что для углов любого треугольника справедливо неравенство  $\cot \frac{A}{2} + \cot \frac{B}{2} + \cot \frac{C}{2} > 3$ . Но, оказывается, выполняется даже более сильное неравенство:  $\cot \frac{A}{2} + \cot \frac{B}{2} + \cot \frac{C}{2} \geq 3\sqrt{3}$ ! Факт, как говорится, *учителю на заметку* и в копилку, поскольку существует довольно симпатичное тому доказательство: ведь, как известно (!) в любом треугольнике  $\cot \frac{A}{2} + \cot \frac{B}{2} + \cot \frac{C}{2} = \cot \frac{A}{2} \cdot \cot \frac{B}{2} \cdot \cot \frac{C}{2}$  — хорошее упражнение на тему «преобразование тригонометрических выражений»<sup>20</sup> — достаточно лишь потребовать, чтобы  $A + B + C = \pi$ .

А дальше, т.к. половинки углов треугольника — углы острые, значит, их *котангенсы* — *положительны* и классическое неравенство Коши дает нам искомую оценку:

Пусть

$$t = \cot \frac{A}{2} + \cot \frac{B}{2} + \cot \frac{C}{2} \Rightarrow \frac{t}{3} \geq \sqrt[3]{t} \Leftrightarrow (\text{при } t > 0) \quad t^3 \geq 27t \Leftrightarrow t^2 \geq 27 \Leftrightarrow t \geq 3\sqrt{3}.$$

Если теперь вернуться к доказательству коллинеарности центра коники и точек  $G$  и  $I$ , (теорема 5.1) то, с поправкой на *отрицательность* соответствующей суммарной массы, приходим к выводу, что центр коники Мозеса делит отрезок  $GI$  в том же отношении, что и прежде, но только *внешним* образом:  $\frac{GM}{IM} = \frac{p}{3r}$ , и центр коники лежит *на продолжении отрезка*  $GI$  за точку  $I$ . Иначе говоря, центры эллипса и коники вместе с центроидом и инцентром образуют так называемую *гармоническую четверку точек* (см.[5], [10]).

В *третьих*, условия, определяющие вид этой коники, поддаются простому геометрическому описанию, а именно:

- если исходный треугольник остроугольный, то коника представляет собой *эллипс* (рис. 13);
- если исходный треугольник тупоугольный, то — *гиперболу* (рисунок см. выше);
- если же треугольник *прямоугольный* (граничный случай) — то *пару параллельных прямых* (! — не параболу, как можно было ожидать априори, но — *вырожденную параболу*) (рис. 14).

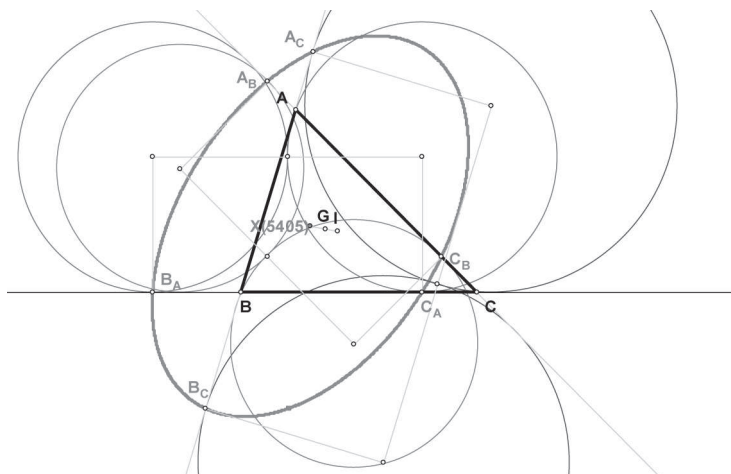
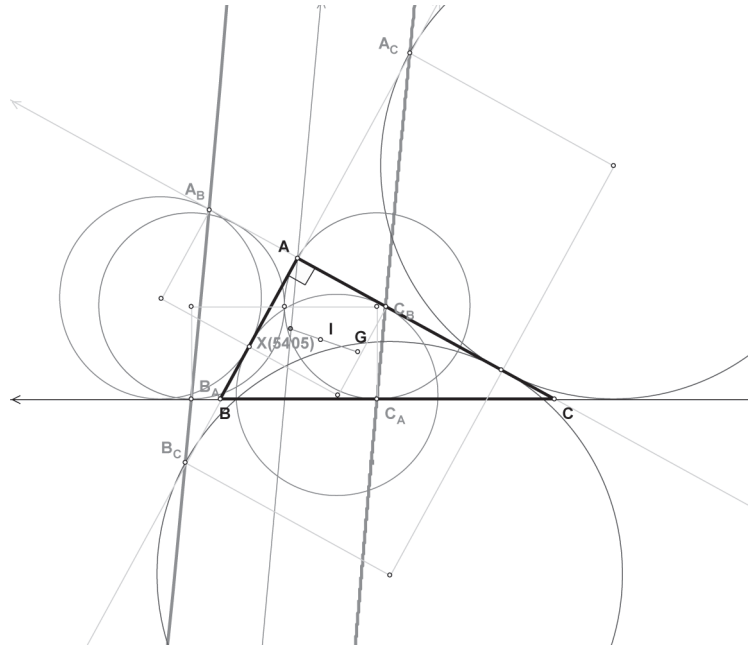


Рис. 13.

<sup>20</sup>Опять же, педагогу-профи на карандаш: из этого равенства, между прочим, сразу можно вывести формулу Герона (и наоборот!), записав его через стороны треугольника:  $(p-a)/r + (p-b)/r + (p-c)/r = (p-a)(p-b)(p-c)/r^3 \Leftrightarrow (3p-2p)/r = (p-a)(p-b)(p-c)/r^3 \Leftrightarrow p/r = (p-a)(p-b)(p-c)/r^3 \Leftrightarrow pr^2 = (p-a)(p-b)(p-c) \Leftrightarrow (pr)^2 = p(p-a)(p-b)(p-c) \Leftrightarrow S^2 = p(p-a)(p-b)(p-c)$



Puc. 14.

Разберемся, почему получается именно так (будем придерживаться обозначений из ЕТС).

Напомним, что  $d = \cot \frac{A}{2} > 0$ ,  $e = \cot \frac{B}{2} > 0$  и  $f = \cot \frac{C}{2} > 0$ , а выражение, знак которого определяет тип коники, имеет вид, аналогичный полученному при изучении эллипса Пааша (но с поправкой на смену знаков котангенсов):  $\Phi = 16(1-d)(1-e)(1-f)(3-(d+e+f))$ .

Последняя скобка, как было установлено в «в-вторых», всегда меньше нуля. Котангенс убывает на интервале  $(0, \pi)$ , поэтому, если все углы треугольника *острые*, то их половинки меньше  $\frac{\pi}{4}$ , а соответствующие котангенсы — *больше единицы*. Значит, и три другие скобки *отрицательны*, а произведение всех четырех — *положительно*,  $\Phi > 0$  — и коника есть *эллипс*. Если же треугольник *тупоугольный* (например, тупым является угол при вершине  $A$  — и тогда углы при двух других вершинах *острые*), то первая скобка — *положительна*, а вторая и третья — по-прежнему *отрицательны*. В результате  $\Phi < 0$  — получаем гиперболу. Наконец, если треугольник *прямоугольный*, то  $\Phi = 0$  и теория предсказывает явление *параболы*, а поскольку ее *центр — точка конечная*, то параболе этой не остается ничего кроме, как «*выродиться*» в *пару параллельных прямых*.

Ради, так сказать, научного интереса, приведем все же и чисто *формальное*, (т.е. алгебраическое) доказательства последнего утверждения.

Уравнение коники (коэффициенты которой мы обсудили «во-первых») имеет вид:

$$-d(2-d)x^2 - e(2-e)y^2 - f(2-f)z^2 - \\ - 2(2-e-f+ef)zy - 2(2-f-d+fd)xz - 2(2-d-e+de)yx = 0.$$

С учетом того, что  $d = 1$ , оно перепишется (после домножения на «минус один») как  $x^2 - e(e - 2)y^2 - f(f - 2)z^2 + 2(2 - e - f + ef)zy + 2xz + 2yz = 0$ . (Как мы уже знаем, сумма котангенсов половинных углов треугольника равна их произведению, т.е.  $d + e + f = def$  и, если  $d = 1$ , то  $1 + e + f = ef$  — и потому коэффициент при  $zy$  вообще-то, в случае прямого угла при вершине  $A$ , запишется просто как 6. Но мы даже не воспользуемся этим счастливым обстоятельством, поскольку в том вовсе нет необходимости).

Выделив квадрат суммы по  $x, y, z$ , перейдем к равносильному уравнению

$$(x+y+z)^2 - (e(2-e)y^2 - y^2) - (f(2-f)z^2 - z^2) + 2(2-e-f+ef)zy - 2zy = 0 \iff \\ \iff (x+y+z)^2 - ((e-1)^2y^2 + (f-1)^2z^2 - 2(1-e-f+ef)zy) = 0.$$

Однако, простым раскрытием скобок, легко убедиться в том, что  $((e - 1)y - (f - 1)z)^2$  в точности есть  $((e - 1)^2y^2 + (f - 1)^2z^2 - 2(1 - e - f + ef)zy)$ . И вот возникает, наконец, долгожданная разность квадратов:

$$(x + y + z)^2 - ((e - 1)y - (f - 1)z)^2 = 0 \Leftrightarrow (x + (2 - e)y + fz)(x + ey + (2 - f)z) = 0.$$

Как и было предсказано, коника распалась на две прямые:  $x + (2 - e)y + fz = 0$  и  $x + ey + (2 - f)z = 0$ .

Координаты точки их пересечения  $P$  находятся из определителя  $\begin{vmatrix} p & q & r \\ 1 & 2 - e & f \\ 1 & e & 2 - f \end{vmatrix}$ , т.е.  $P = (2 - e)(2 - f) - ef : 1 \cdot f - 1 \cdot (2 - f) : 1 \cdot e - (2 - f) \cdot 1$  И сумма их равна, очевидно, нулю — т.е.  $P$  является бесконечно удаленной точкой, что и означает параллельность наших прямых в обычном евклидовом смысле (подробности см. в [6], [7], [10]).  $\square$

## Литература

- [1] Штейнгарц Л.А. Гипотезы о медианах, высотах, биссектрисах и... эллипсах // Математическое образование. - 2012. - № 2(62). - С. 41-48.
- [2] Штейнгарц Л.А. Орбиты Жукова и теорема Морлея // Математика в школе. - 2012. - № 6. - С. 53-61.
- [3] Григорьев Д.С., Мякишев А.Г. И снова о гипотезах Штейнгарца // Математическое образование. - 2013. - № 3(67). - С. 40-56.
- [4] Осипов Н.Н. О механическом доказательстве планиметрических теорем рационального типа // Программирование. - 2013. - № 2. - С. 1-10.
- [5] Акопян А., Заславский А. Геометрические свойства кривых второго порядка. - М.: МЦНМО. - 2011.
- [6] Мякишев А. Элементы геометрии треугольника. - М.: МЦНМО. - 2009.
- [7] Прасолов В. Задачи по планиметрии. - М.: МЦНМО. - 2007.
- [8] Шарыгин И. Геометрия. Планиметрия. (Задачник 9-11). - М.: Дрофа. - 2001.
- [9] Kimberling C. Encyclopedia of Triangle Centers. URL:  
<http://faculty.evansville.edu/ck6/encyclopedia/>
- [10] Yiu P. Introduction to the Geometry of the Triangle. URL:  
<http://math.fau.edu/yiu/GeometryNotes020402.pdf>
- [11] ForumGeometricorum — электронный журнал, посвященный элементарной геометрии. URL:  
<http://forumgeom.fau.edu>
- [12] Куланин Е., Мякишев А. О некоторых кониках, связанных с треугольником. - М.: Институт логики. - 2008.

Мякишев Алексей Геннадьевич

E-mail: myakishev62@mail.ru

Статья поступила в редакцию 16 июля 2013 г.